

BLENDGUTACHTEN

PVA UNTERHOMBERG

VERSION 1.0

Bearbeitet:

Sachverständiger für Photovoltaik Mathias Röper, M. Eng.

SONNWINN GmbH Elbstraße 88/1 D-22880 Wedel +49 (0) 4103 121 4221 mathias.roeper@sonnwinn.de www.sormwinn.de

Wedel, 04 09.2025

Revisionstabelle

Version	Änderung	Datum	Name
1.0	Erste Fassung	04.09.2025	Mathias Röper

Das Gutachten ist nur in seiner aktuellen Fassung gültig.

Inhaltsverzeichnis

1	Einle	eitung	3
	1.1	Fragestellung	3
	1.2	Haftungsausschluss	3
	1.3	Datengrundlage	3
	1.4	Übersicht der angewendeten Methodiken	4
2	Anla	genbeschreibung	5
3	Zusa	mmenfassung der Ergebnisse	8
4	Grur	ndlagen	9
	4.1	Blendwirkung von Modulen	9
	4.2	Berechnung von Reflexionen	11
	4.3	Verwendete Software, Annahmen und Limitationen	11
5	Blen	dwirkungen auf Gebäude	12
	5.1	Auswertungsmethodik	12
	5.2	Schutzwürdige Räume in der Umgebung der PVA	13
	5.3	Observationspunkte	17
	5.4	Ergebnisse	19
6	Liter	aturverzeichnis	20
Α	nhang A	A: Annahmen und Limitationen von SGHAT	21

1 Einleitung

Die SONNWINN GmbH, unabhängiges Experten-Büro für Photovoltaik und Stromspeicher, wurde beauftragt, die möglichen Blendwirkungen folgender Photovoltaikanlage (PVA) zu untersuchen und zu bewerten:

Tabelle 1: Projektübersicht

Auftraggeber	Herrn Albert Scherer Unterhomberg 7 88693 Deggenhausertal	
Projektname	PVA Unterhomberg	
Adresse PVA	88693 Deggenhausertal	
Stand der Projektierung	☐ Bestand ☐ Im Bau ⊠ Planung	

1.1 Fragestellung

Es stellt sich die Frage, ob die Solarmodule der geplanten Photovoltaikanlage Sonnenlicht so reflektieren, dass erhebliche Belästigungen bzw. Beeinträchtigungen für folgende Immissionsorte auftreten können:

 Schutzwürdige Räume in der direkten Nachbarschaft (z. B. Wohnräume), die nicht zum Anlagenbetreiber gehören.

Dieses Gutachten dient der Beantwortung dieser Frage und stellt dar, ob und mit welcher Häufigkeit belästigende bzw. beeinträchtigende Blendwirkungen auftreten können. Zudem werden die Ergebnisse bewertet.

1.2 Haftungsausschluss

Dieser Bericht wurde ausschließlich für den Gebrauch des Auftraggebers und in dessen Auftrag erstellt. Die Berechnungen und Auswertungen erfolgten nach bestem Wissen und Gewissen. Trotz sorgfältiger Durchführung können Fehler oder Irrtümer nicht vollständig ausgeschlossen werden. Für Folgeschäden, die aus der Nutzung des Gutachtens resultieren, wird keine Haftung übernommen. Die Haftung für Schadensersatz bei grober Fahrlässigkeit oder Vorsatz bleibt unberührt. Bei Weitergabe des Gutachtens an Dritte darf dieses weder verändert noch bearbeitet werden. Eine Haftung gegenüber Dritten, die sich den Inhalt dieses Gutachtens zunutze machen, ist grundsätzlich ausgeschlossen.

1.3 Datengrundlage

Tabelle 2: Verwendete Daten/Informationen und ihre Quellen

Information/Daten	Quelle	
Angaben zur geplanten PVA	Auftraggeber	
Umliegende Vegetation	Google Earth Pro, OpenStreetMap, Datenquelle: LGL,	
Umliegende Bebauung	www.lgl-bw.de, dl-de/by-2-0	
Höhendaten (DGM1)	Datenquelle: LGL, www.lgl-bw.de, dl-de/by-2-0	

1.4 Übersicht der angewendeten Methodiken

Die Auswertung der Blendwirkungen auf die Immissionsorte wurde entsprechend folgender Tabelle durchgeführt.

Tabelle 3: Methodiken

Immissionsort	Methodik	
Schutzbedürftige Räume (Wohnräume,	Gemäß dem Leitfaden der Bund/Länder-	
Büros etc.)	Arbeitsgemeinschaft für Immissionsschutz	
	(LAI-Leitfaden) [1]	

2 Anlagenbeschreibung

Die geplante PVA besteht aus zwei PV-Flächen.

Tabelle 4: Relevante Anlagenparameter

Parameter	Angabe/Wert	
Geokoordinaten (Breite, Länge)	47.814850,9.426609	
Art der Anlage	Freiflächenanlage	
Modultyp Si-kristallines Modul mit Antireflexbeso		
Aufständerung	Fest aufgeständert	
PV-Fläche	PV1: ca. 1,8 ha	
	PV2: ca. 0,9 ha.	
Nennleistung (DC)	-	
Modulausrichtung (Azimut)	PV1: 70°/250° Ost-West	
	PV2: 63°/243° Ost-West	
Modulneigung	10°	
Höhe Modulunterkante	2,8 m	



Abbildung 1: Grundriss der PV-Flächen

PV-Fläche 1 weist eine Neigung von ca. 3° nach Südosten auf, PV-Fläche 2 eine Neigung von ca. 3° nach Nordwesten. Diese Neigungen wurden in der Simulation als Querneigungen der Modultische (Neigung entlang der Tischachsen zur Horizontalen) berücksichtigt, wodurch sich der effektive Azimut verändert. Im Rahmen der Begutachtung wurde daher angenommen, dass die Modultische den beschriebenen Hangneigungen folgen.



Abbildung 2: Belegungsplan PV1 - Quelle: Auftraggeber



Abbildung 3: Belegungsplan PV2 - Quelle: Auftraggeber

Schnittzeichung

Schema Tisch 2P Ost/West 10°

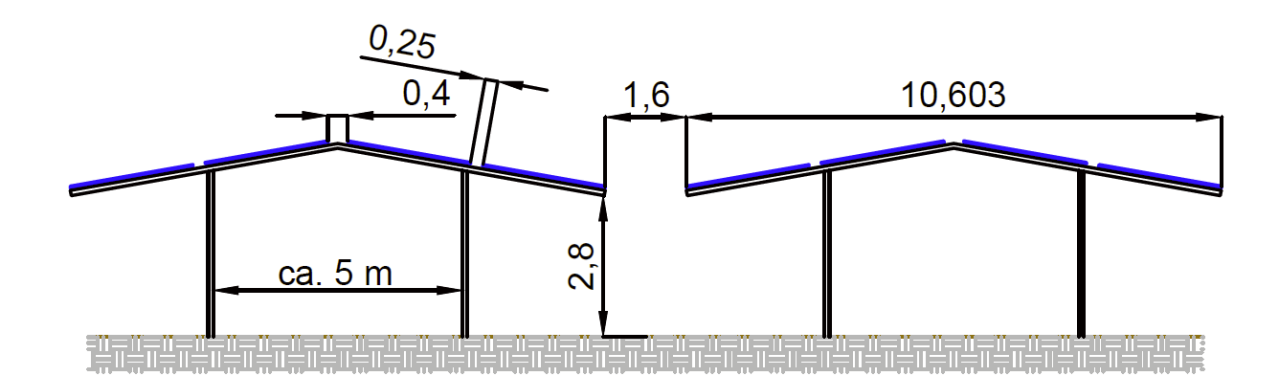


Abbildung 4: Systemschnitt der PV-Tische - Quelle: Auftraggeber

3 Zusammenfassung der Ergebnisse

Geprüft wurden potenzielle Blendwirkungen an Nachbargebäuden der geplanten PV-Flächen. Die Gebäude des Eigentümers der Photovoltaikanlage (Auftraggeber) wurden gemäß Auftrag nicht berücksichtigt, da hier lediglich Eigenbelästigungen auftreten könnten.

Insgesamt wurden sechs Gebäude in der Umgebung untersucht, bei denen Wohnräume vermutet werden. An keinem der sechs betrachteten Punkte konnten Blendwirkungen festgestellt werden.



Abbildung 5: Geprüfte Punkte (H1 bis H6)

4 Grundlagen

4.1 Blendwirkung von Modulen

Ein PV-Modul setzt sich aus zahlreichen Solarzellen zusammen, die Sonnenlicht in elektrische Energie umwandeln. Um Stabilität zu gewährleisten und vor Witterungseinflüssen zu schützen, sind die Solarzellen normalerweise hinter einer Glasscheibe (Modulglas) angebracht. Das Modulglas ist maßgeblich für mögliche Blendwirkungen verantwortlich. Da die erzeugte elektrische Energie in direktem Verhältnis zur Intensität der Sonneneinstrahlung auf die Solarzellen steht, bemühen sich Modulhersteller, Reflexionen am Modulglas zu reduzieren – je weniger Reflexionen, desto höher der Ertrag. Daher verfügt das Modulglas typischerweise über eine spezielle Oberflächentexturierung und eine sogenannte Antireflexschicht. Beide Elemente gewährleisten, dass möglichst viel Licht auf die Solarzellen trifft und Reflexionsverluste minimiert werden [2].

Daher reflektieren Solarmodule bei geringen Einfallswinkeln θ (siehe Abbildung 6) lediglich einen kleinen Teil des Sonnenlichts (etwa 5 %). Studien zeigen jedoch, dass trotz Texturierung und Antireflexbeschichtung der Anteil des reflektierten Sonnenlichts mit ansteigendem Einfallswinkel exponentiell zunimmt (siehe Abbildung 7).

Da bereits Reflexionen von weniger als 1 % des Sonnenlichts zu einer Absolutblendung führen können [1], müssen demnach Einfallswinkel berücksichtigt werden.

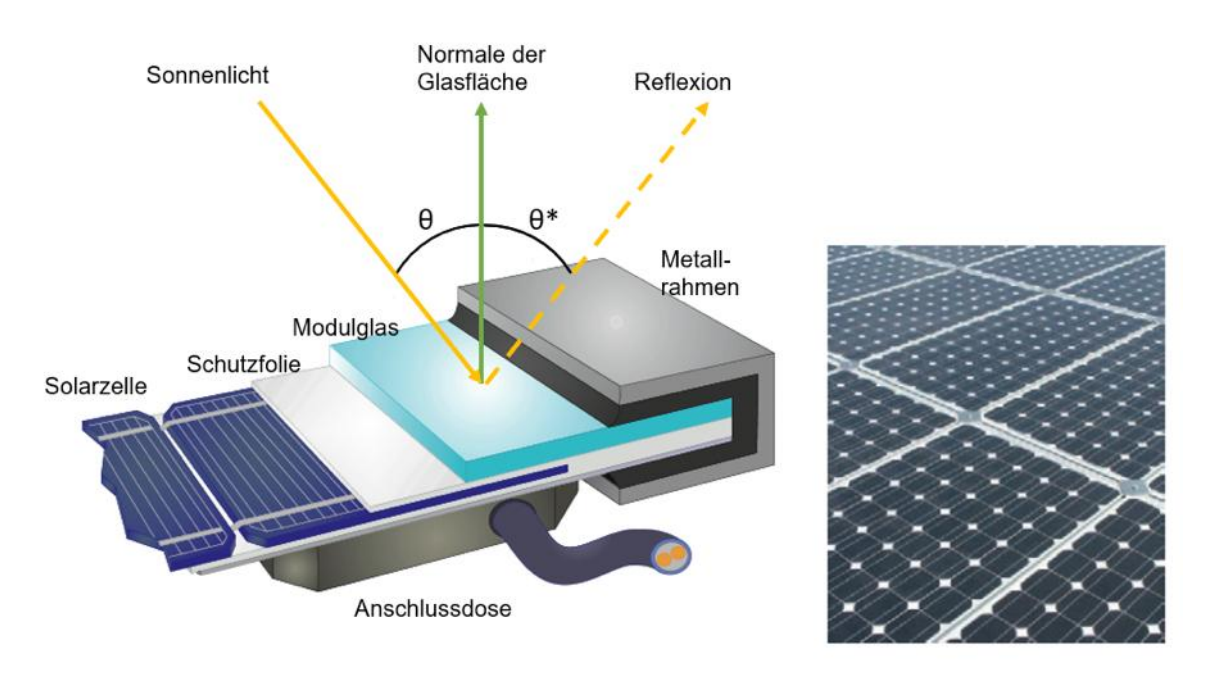


Abbildung 6: Aufbau eines PV-Moduls und Darstellung des Reflexionsgesetzes "Einfallswinkel = Ausfallswinkel"
- Quelle: [3] (modifiziert)

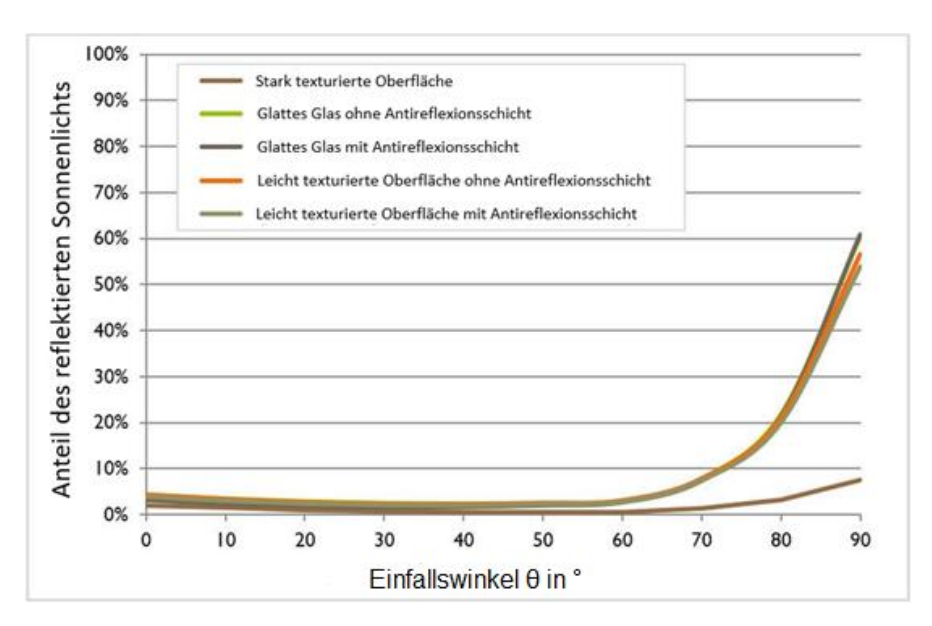


Abbildung 7: Anteil des reflektierten Sonnenlichts in Abhängigkeit zum Einfallswinkel, dargestellt für unterschiedliche Modulglastypen - Quelle: [4], modifiziert

Die Oberflächentexturierung des Modulglases bewirkt eine weniger intensive, aber diffuse (gestreute) Reflexion des Sonnenlichts, wodurch der Immissionsort der Reflexion vergrößert wird. Daher sind die Intensitäten von Reflexionen an Solarmodulen nicht mit denen an beispielsweise glatten Fensterscheiben vergleichbar, bei denen das Sonnenlicht gerichteter reflektiert wird. Neue PV-Module verfügen in der Regel über eine Antireflexbeschichtung und zumindest eine leicht texturierte Oberfläche. Dies gilt auch für den später verwendeten Modultyp.



Abbildung 8: Veranschaulichung der Reflexion an einem texturierten Modulglas (mitte-links) und einem glatten Modulglas (mitte-rechts) - Quelle Aufnahme: Fraunhofer-Institut für Solare Energiesysteme ISE

4.2 Berechnung von Reflexionen

Reflexionen an PV-Modulen können geometrisch hergeleitet werden. Hierzu werden die Module, die relevanten Immissionsorte und die Sonne in einem gemeinsamen Koordinatensystem modelliert [1]. Der standortbezogene Sonnenverlauf kann für jeden Zeitpunkt im Jahr auf Basis mathematischer Funktionen ermittelt werden [5]. Durch Winkelbeziehungen und Strahlungsgesetze lässt sich nachvollziehen, wo und wann Blendwirkungen auftreten. Die Berücksichtigung von modulglasspezifischen Streuwinkeln und Reflexionskoeffizienten ermöglicht eine noch präzisere Betrachtung [4].

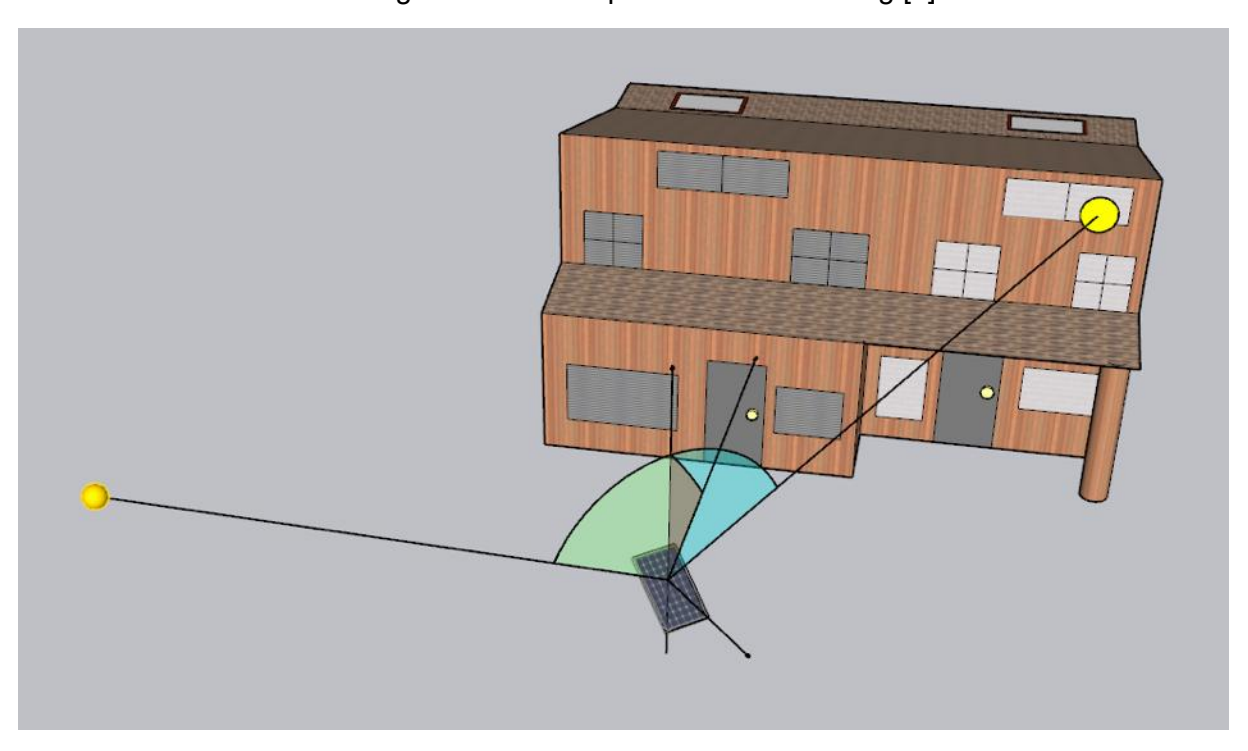


Abbildung 9: Veranschaulichung der geometrischen Herleitung einer Reflexion - Quelle: Eigene Abbildung

4.3 Verwendete Software, Annahmen und Limitationen

Für die Berechnungen der Reflexionen/Blendwirkungen wurde die Software ForgeSolar verwendet. Dabei wurden die Reflexionen/Blendwirkungen der PVA mit einer zeitlichen Auflösung von einer Minute für ein ganzes Jahr berechnet. Die Software basiert auf dem "Solar Glare Hazard Analysis Tool" (SGHAT) der Sandia National Laboratories. Im Rahmen der Simulation werden die Höhendaten der PV-Fläche sowie der Immissionsorte berücksichtigt. Die Simulation basiert auf der Annahme eines immer klaren Himmels. Demnach wird ein abstrakter Worst-Case betrachtet.

Obwohl ForgeSolar zu den etabliertesten und professionellsten Programmen gehört, um PVA-bedingte Blendwirkungen zu berechnen, kann die Realität nur vereinfacht dargestellt werden. Somit werden die Generatorfelder als Ebenen zusammengefasst, abweichende Modulausrichtungen im Feld (z. B. Modultische, die aufgrund der Topografie eine Neigung entlang der Tischachse besitzen und somit die effektive Ausrichtung der Module beeinflussen) teilweise verloren gehen. Die Limitationen der Software werden nach Möglichkeit durch zusätzliche Berechnungen kompensiert und die Ergebnisse stets validiert. Dennoch können Abweichungen von der späteren Realität nicht ausgeschlossen werden.

Eine weiterführende Auflistung der Annahmen und Einschränkungen bzgl. der Simulation befindet sich in Anhang A.

5 Blendwirkungen auf Gebäude

5.1 Auswertungsmethodik

Die Auswertung der Blendwirkungen auf umliegende Gebäude (inkl. Terrassen und Balkone) basiert auf dem Leitfaden der Bund/Länder-Arbeitsgemeinschaft für Immissionsschutz (LAI) [1].

Der LAI-Leitfaden benennt als maßgebliche Immissionsorte schutzbedürftige Räume, sofern sie zu einer der folgenden Kategorien gehören:

- Wohnräume
- Schlafräume (einschließlich Übernachtungsräume in Beherbergungsstätten und Bettenräume in Krankenhäusern und Sanatorien)
- Unterrichtsräume in Schulen, Hochschulen und ähnlichen Einrichtungen
- Büroräume, Praxisräume, Arbeitsräume, Schulungsräume und ähnliche Arbeitsräume
- An relevanten Gebäuden anschließende Außenflächen (z. B. Terrassen und Balkone)

Räume, die keiner dieser Kategorien zuzuordnen sind, wurden im Rahmen des Gutachtens nicht auf Blendwirkungen untersucht.

Gemäß dem LAI-Leitfaden gelten (ca.) 100 Meter als räumlicher Grenzwert: Liegt ein Immissionsort weiter als 100 Meter von der PVA entfernt, können erhebliche Belästigungen in der Regel ausgeschlossen werden.

Laut dem LAI-Leitfaden soll zur Ermittlung der Blendzeiten ein vereinfachtes (idealisiertes) Modell verwendet werden, bei dem die Solarmodule als ideal verspiegelte Flächen dargestellt werden. Da eine Spiegelfläche das Sonnenlicht gerichtet reflektiert, findet keine oder nur eine sehr geringe Streuung des Sonnenlichts statt. Je geringer die Streuung, desto kürzer sind die Blendzeiten. In der Simulation wird jedoch ein realistisches Modell verwendet, das die oberflächenspezifischen Eigenschaften realer Solarmodule berücksichtigt. Um dennoch eine Bewertung nach dem LAI-Leitfaden zu ermöglichen, werden die Blendwirkungen, die lediglich mit dem vereinfachten Modell ermittelt würden, als "Kernblendung" und die übrigen als "gestreute Reflexion" bezeichnet und stets differenzierbar dargestellt (sofern relevante Blendwirkungen auftreten).

Zudem sind laut dem Leitfaden Reflexionen, die am Immissionsort mit einem Differenzwinkel ≤ 10° zur direkten Sonneneinstrahlung auftreten, nicht als relevante Blendungen zu betrachten. Dies berücksichtigt den Umstand, dass bei tiefstehender Sonne PVA-bedingte Blendwirkungen von der direkten Sonneneinstrahlung überlagert werden.

Laut dem LAI-Leitfadens liegt eine erhebliche Belästigung durch PVA-bedingte Blendwirkungen vor, wenn ein schutzwürdiger Raum mehr als 30 Minuten pro Tag und/oder 30 Stunden (1.800 Minuten) pro Jahr *Kernblendungen* erfährt.

Es hat sich bewährt, in der Simulation nicht jedes einzelne Gebäude in der Umgebung der PVA auszuwerten, sondern lediglich die nächstgelegenen in verschiedenen Himmelsrichtungen. Im Rahmen der Simulation wird darauf geachtet, die potenziell am stärksten betroffenen schutzbedürftigen Räume zu analysieren (Worst-Case-Betrachtung).

5.2 Schutzwürdige Räume in der Umgebung der PVA

Ab einem Abstand zwischen Immissionsort (z. B. Wohngebäude) und einer nach (ca.) Süden ausgerichteten PVA von 100 m können erhebliche Belästigungen (i. d. R.) pauschal ausgeschlossen werden [1].

Erfahrungsgemäß können Ost-West-Anlagen weiterreichend reflektieren, sodass ein erweiterter Bereich von 200 m berücksichtigt wird.

Abbildung 10 veranschaulicht den Bereich, der 200 Meter oder näher an der Photovoltaikanlage liegt.

Es lässt sich feststellen, dass im 200-Meter-Umkreis schutzwürdige Wohngebäude vorhanden sind.



Abbildung 10: Übersicht der 200-Meter-Zone

Im Rahmen der Beauftragung sollen die Blendwirkungen auf die direkte Nachbarschaft geprüft werden. Der Eigentümer der PVA (und Auftraggeber) besitzt eigene Gebäude im Umfeld der Anlage. Hier können höchstens Eigenbelästigungen auftreten. Entsprechend der Beauftragung werden diese Gebäude nicht berücksichtigt.

Im Umfeld der PV-Fläche 1 wurden ansonsten drei Höhen/Gebäude identifiziert, die nicht zum Eigentümer der PVA gehören. Hier werden Wohnräume vermutet. Die Blendwirkungen an diesen Standorten werden im Folgenden ausgewertet.

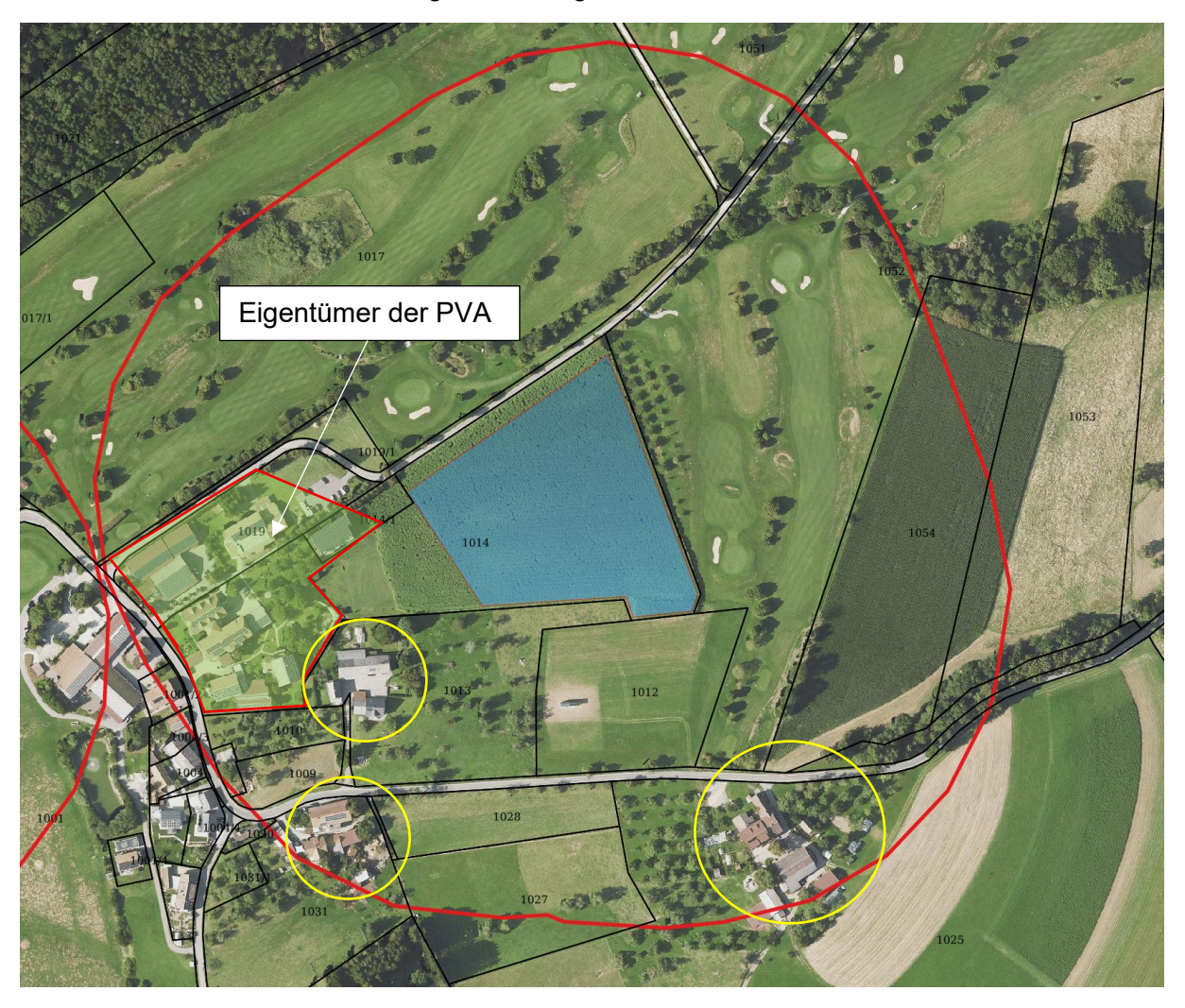


Abbildung 11: Nachbarhöfe bzw. Gebäude mit potenziellen Wohnräumen im Umfeld von PV-Fläche 1 (gelb)

Auch im Umfeld von PV-Fläche 2 wurden voraussichtlich schutzwürdige Gebäude identifiziert.

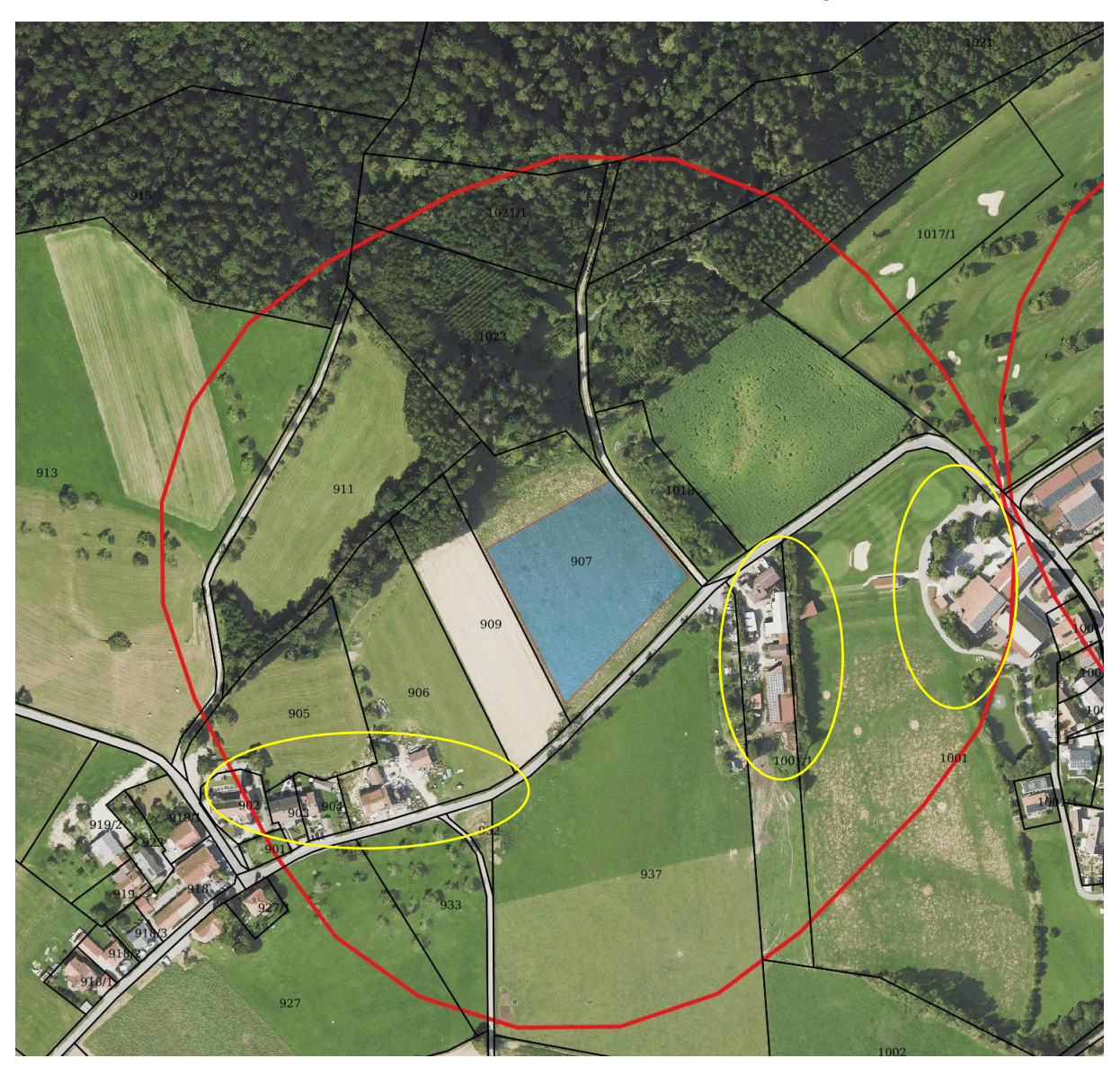


Abbildung 12: Nachbarhöfe bzw. Gebäude mit potenziellen Wohnräumen im Umfeld von PV-Fläche 2 (gelb)

Weiterhin ist zu erwähnen, dass die Waldflächen im Umfeld der PVA als Sichtschutz berücksichtigt wurden, sodass beispielsweise vom Siedlungsgebiet Rubacker (welches im Nordwesten liegt) keine Sicht auf die PVA besteht.



Abbildung 13: Bewaldung im Umfeld der PVA

5.3 Observationspunkte

6

Zur Bewertung der Blendwirkungen in bzw. an den schutzwürdigen Räumen wurden im Rahmen der Simulation sogenannte "Observationspunkte" (OP) festgelegt. Diese Punkte fungieren als Detektorpunkte für einfallende Reflexionen. Insgesamt wurden sechs OP an den schutzwürdigen Räumen definiert (OP H1 bis H6).

Die OP wurden, wo möglich, so positioniert, dass sie insgesamt das Worst-Case-Szenario repräsentieren, also an Orten, an denen die stärksten Blendwirkungen erwartet werden. Generell sind höher gelegene Immissionsorte stärkeren Blendwirkungen ausgesetzt als niedriger gelegene.

OP H	Höhe Geländeoberkante in m	Höhe über Geländeoberkante in m
1	732	8
2	729	4,6
3	715	4,6
4	746	4,6
5	760	4,6

4,6

759

Tabelle 5: Höhen OP H



Abbildung 14: Positionen von OP H1 bis H3

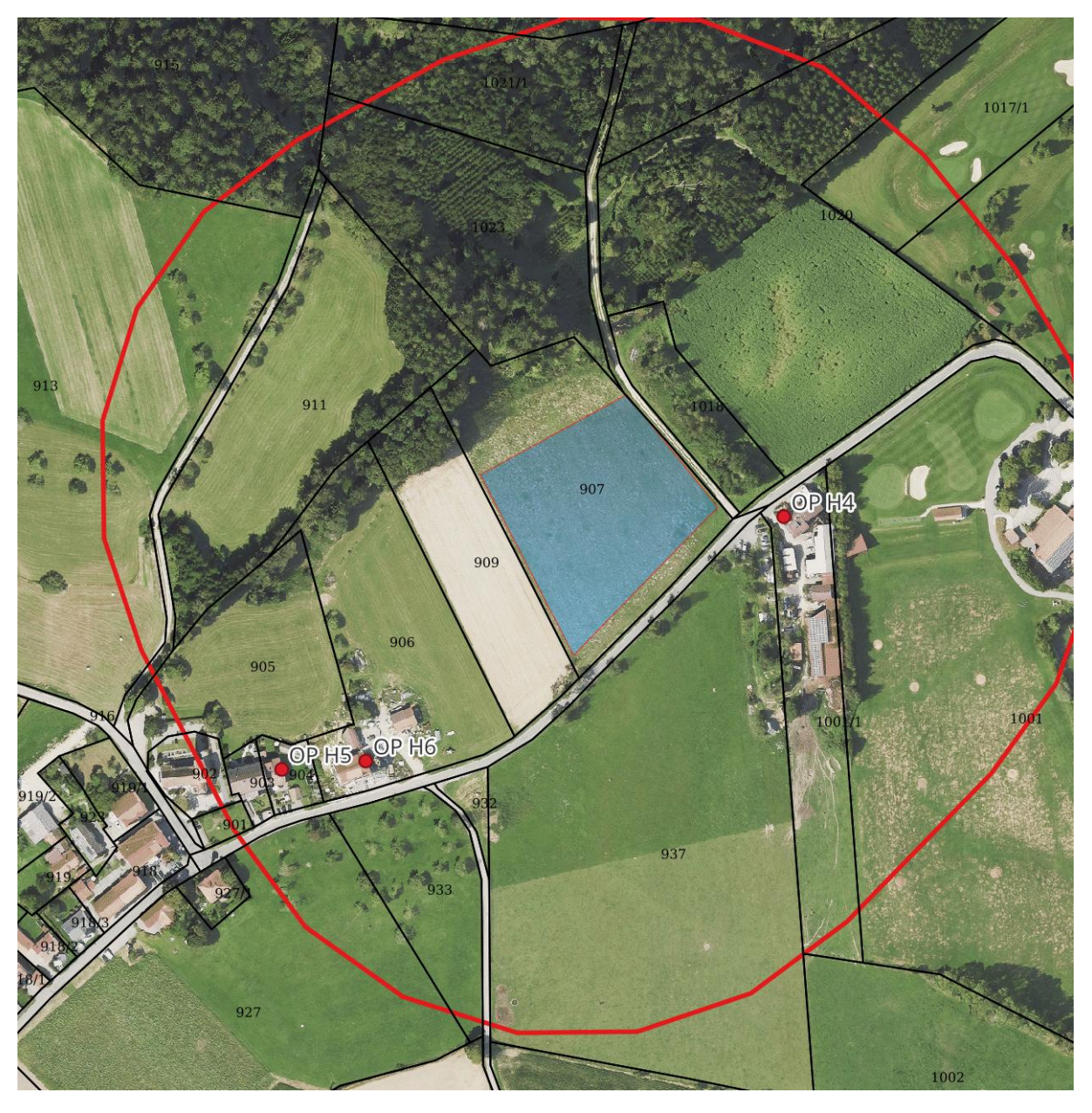


Abbildung 15: Positionen von OP H4 bis H6

5.4 Ergebnisse

Tabelle 6: Ergebnisse an den OP Hx

Observationspunkt	Max. Blenddauer (Kernblendung) pro Tag in Minuten	Gesamtblenddauer pro Jahr (Kernblendung) in Minuten	Werden die LAI- Grenzwerte eingehalten (vgl. Kapitel 5.1)?
H1	0	0	ja
H2	0	0	ja
H3	0	0	ja
H4	0	0	ja
H5	0	0	ja
H6	0	0	ja

6 Literaturverzeichnis

- [1] Bund/Länder-Arbeitsgemeinschaft für Immissionsschutz (LAI), *Hinweise zur Messung, Beurteilung und Minderung von Lichtimmissionen (Leitfaden)*. 2012. [Online]. Verfügbar unter: https://www.lai-immissionsschutz.de/documents/lichthinweise-2015-11-03mitformelkorrektur_aus_03_2018_1520588339.pdf
- [2] K. Mertens, *Photovoltaik: Lehrbuch zu Grundlagen, Technologie und Praxis*, 5. Aufl. Carl Hanser Verlag München, 2020.
- [3] Volker Quaschning, Regenerative Energiesysteme: Technologie Berechnung Simulation, 9. Aufl. Carl Hanser Verlag München, 2015.
- [4] J. Yellowhair und C. K. Ho, "Assessment of Photovoltaic Surface Texturing on Transmittance Effects and Glint/Glare Impacts", San Diego, California, USA: American Society of Mechanical Engineers, Juni 2015, S. V002T11A003. doi: 10.1115/ES2015-49481
- [5] J. A. Duffie und W. A. Beckman, "Solar Engineering of Thermal Processes", Bd. 4, 2013.

Anhang A: Annahmen und Limitationen von SGHAT





4. Assumptions and Limitations

Below is a list of assumptions and limitations of the models and methods used in SGHAT:

- The software currently only applies to flat reflective surfaces. For curved surfaces (e.g., focused mirrors such as parabolic troughs or dishes used in concentrating solar power systems), methods and models derived by Ho et al. (2011) [1] can be used and are currently being evaluated for implementation into future versions SGHAT.
- SGHAT does not rigorously represent the detailed geometry of a system; detailed
 features such as gaps between modules, variable height of the PV array, and support
 structures may impact actual glare results. However, we have validated our models
 against several systems, including a PV array causing glare to the air-traffic control tower
 at Manchester-Boston Regional Airport and several sites in Albuquerque, and the tool
 accurately predicted the occurrence and intensity of glare at different times and days of
 the year.
- SGHAT assumes that the PV array is aligned with a plane defined by the total heights of
 the coordinates outlined in the Google map. For more accuracy, the user should perform
 runs using minimum and maximum values for the vertex heights to bound the height of
 the plane containing the solar array. Doing so will expand the range of observed solar
 glare when compared to results using a single height value.
- SGHAT does not consider obstacles (either man-made or natural) between the observation points and the prescribed solar installation that may obstruct observed glare, such as trees, hills, buildings, etc.
- The variable direct normal irradiance (DNI) feature (if selected) scales the user-prescribed peak DNI using a typical clear-day irradiance profile. This profile has a lower DNI in the mornings and evenings and a maximum at solar noon. The scaling uses a clear-day irradiance profile based on a normalized time relative to sunrise, solar noon, and sunset, which are prescribed by a sun-position algorithm [2] and the latitude and longitude obtained from Google maps. The actual DNI on any given day can be affected by cloud cover, atmospheric attenuation, and other environmental factors.
- The ocular hazard predicted by the tool depends on a number of environmental, optical, and human factors, which can be uncertain. We provide input fields and typical ranges of values for these factors so that the user can vary these parameters to see if they have an impact on the results. The speed of SGHAT allows expedited sensitivity and parametric analyses.
- Single- and dual-axis tracking compute the panel normal vector based on the position of
 the sun once it is above the horizon. Dual-axis tracking does not place a limit on the angle
 of rotation, unless the sun is below the horizon. For single-axis tracking, a maximum
 angle of rotation can be applied to both the clockwise and counterclockwise directions.

5 | Page

Ausschnitt wurde dem SGHAT-Handbuch (Solar Glare Hazard Analysis Tool) entnommen. Das vollständige Handbuch kann unter folgendem Link gefunden werden:

https://forgesolar.com/static/docs/SGHAT3-GlareGauge user manual v1.pdf